

**VYSOKÁ ŠKOLA STROJNÍ A TEXTILNÍ V LIBERCI**

Fakulta strojní

Leoš HAVRDA

**Globální optimalizace funkcí více proměnných**

Diplomová práce

1994

# VYSOKÁ ŠKOLA STROJNÍ A TEXTILNÍ V LIBERCI

Fakulta strojní

Obor 23-40-8

Automatické systémy řízení výrobních procesů ve strojírenství  
Katedra technické kybernetiky

Globální optimalizace funkcí více proměnných

Autor: Leoš Havrda

Vedoucí práce: Ing. Václav Záda, CSc., KTK, VŠST Liberec

Rozsah diplomové práce: 49 stran

**VYSOKÁ ŠKOLA STROJNÍ A TEXTILNÍ V LIBERCI**

Fakulta strojní

Katedra technické kybernetiky

Školní rok: 1993/94

## **ZADÁNÍ DIPLOMOVÉ PRÁCE**

pro Leoše HAVRDU

obor 23-40-8 Automatizované systémy řízení výrobních procesů  
ve strojírenství

Vedoucí katedry Vám ve smyslu zákona č. 172/1990 Sb. o vysokých školách určuje tuto diplomovou práci:

**Název tématu:**

Globální optimalizace funkcí více proměnných

### **Zásady pro vypracování:**

1. Seznámit se s metodami optimalizace funkcí více proměnných
2. Důkladně prostudovat metodu globální optimalizace navrženou v práci /1/
3. Metodu z bodu 2., resp. i další metody, aplikovat na několika konkrétních příkladech, provést porovnání rychlosti konvergence z hlediska doby trvání výpočtu i z hlediska počtu potřebných kroků
4. Prověřit změny parametrů u metody dle bodu 2. na konvergenci, viz bod 3, u několika málo vybraných úloh

**VYSOKÁ ŠKOLA STROJNÍ A TEXTILNÍ**

Univerzitní knihovna

Voroněžská 1329, Liberec 1

PSČ 461 17

KTK/ASR-S

141/94S

Rozsah grafických prací:

Rozsah průvodní zprávy: 40-50 stran

Seznam odborné literatury:

/1/ Záda, V.: Globální optimalizace se splinem a proximací.  
Koloquium ČSFR-BRD Zittau, listopad 1992

/2/ Maňas, M.: Optimalizační metody. SNTL, Praha 1979

/3/ Hamala, M.: Nelineárne programovanie. Alfa, Bratislava 1989

Vedoucí diplomové práce: Ing. Václav Záda, CSc.

Konzultant:

Zadání diplomové práce:

31.10.1993

Termín odevzdání diplomové práce:

27. 5.1994



Vedoucí Katedry

Doc. Ing. Vojtěch Konopka, CSc.

Děkan

Prof. Ing. Jaroslav Exner, CSc.

V Liberci

dne 29.10. 1993

Místopřísežně prohlašuji, že jsem diplomovou práci vypracoval samostatně a s použitím uvedené literatury.

*Lená Flora*  
Leoš HAVRDA

V Huntířově nad Jizerou

dne 27. května 1994

## **P O D Ě K O V Á N Í**

Úvodem své práce si dovoluji srdečně poděkovat vedoucímu  
diplové práce

Ing. Václavu Zádovi, CSc.,

který mi poskytl odborné vedení, cenné rady a připomínky při  
zpracování diplomové práce.

# **OBSAH DIPLOMOVÉ PRÁCE**

|  | str.      |
|--|-----------|
| <b>Titulní list .....</b>  | <b>1</b>  |
| <b>Úvodní list .....</b>   | <b>2</b>  |
| <b>Zadání diplomové práce .....</b>  | <b>3</b>  |
| <b>Místopřísežné prohlášení .....</b>  | <b>4</b>  |
| <b>Poděkování .....</b>  | <b>5</b>  |
|  |           |
| <b>1.0. ÚVOD .....</b>   | <b>8</b>  |
| <b>2.0. POPIS JEDNOTLIVÝCH SKUPIN METOD .....</b>  | <b>9</b>  |
| <b>2.1. Skupina metod určení extrému bez derivování funkce .....</b>                           | <b>9</b>  |
| <b>2.2. Skupina metod určení extrému pomocí prvních, resp. i druhých derivací funkce .....</b> | <b>9</b>  |
| <b>3.0. ALGORITMY VYBRANÝCH METOD .....</b>  | <b>10</b> |
| <b>3.1. Metoda globální optimalizace se spline-aproximací .....</b>                            | <b>10</b> |
| <b>3.1.1. Popis parametrů metody .....</b>   | <b>11</b> |
| <b>3.1.2. Formulace úlohy .....</b>  | <b>12</b> |
| <b>3.1.3. Algoritmus metody .....</b>  | <b>13</b> |
| <b>3.1.4. Interpolace kubickými spline funkcemi .....</b>                                      | <b>14</b> |
| <b>3.1.5. Řešení třídiagonálního systému lineárních rovnic .....</b>                           | <b>17</b> |
| <b>3.1.6. Globální minimum spline funkce .....</b>   | <b>18</b> |
| <b>3.2. Metoda flexibilního simplexu .....</b>   | <b>20</b> |
| <b>3.2.1. Algoritmus metody flexibilního simplexu .....</b>                                    | <b>20</b> |
| <b>3.3. Metoda gradientu (metoda největšího spádu) ....</b>                                    | <b>22</b> |
| <b>3.3.1. Algoritmus gradientních metod .....</b>  | <b>22</b> |
| <b>3.4. Metoda Gaussova .....</b>  | <b>24</b> |

|   |    |
|---|----|
| 3.4.1. Princip Gaussovy metody .....                | 24 |
| 4.0. POROVNÁNÍ VYBRANÝCH METOD Z HLEDISKA DOBY      |    |
| TRVÁNÍ A POČTU POTŘEBNÝCH KROKŮ .....               | 25 |
| 4.1. Celkové porovnání jednotlivých metod .....     | 31 |
| 4.2. Doplnění metody globální optimalizace se       |    |
| spline-aproximací .....                             | 32 |
| 5.0. VLIV PARAMETRŮ U METODY GLOBÁLNÍ OPTIMALIZACE  |    |
| SE SPLINE-APROXIMACÍ NA KONVERGENCI .....           | 34 |
| 5.1. Vliv parametru k .....                         | 34 |
| 5.2. Vliv parametru h .....                         | 36 |
| 6.0. POPIS PROGRAMU .....                           | 38 |
| 6.1. Programová realizace .....                     | 39 |
| 7.0. APLIKACE GLOBÁLNÍ OPTIMALIZACE .....           | 41 |
| 7.1. Aplikace na návrh regulátoru podle             |    |
| kvadratického kritéria .....                        | 41 |
| 7.1.1. Zadání úlohy .....                           | 41 |
| 7.1.2. Řešení úlohy .....                           | 41 |
| 7.2. Aplikace na návrh regulátoru podle zobecněného |    |
| kvadratického kritéria .....                        | 44 |
| 7.2.1. Zadání úlohy .....                           | 44 |
| 7.2.2. Řešení úlohy .....                           | 44 |
| 8.0. ZÁVĚR .....                                    | 47 |
| <hr/>   |    |
| Seznam příloh .....                                 | 48 |
| Použitá literatura .....                            | 49 |

## 1.0. ÚVOD

Rychlý rozvoj průmyslové výroby vyžaduje odpovídající rozvoj regulační techniky. V řízení strojírenských procesů jsou nezbytné řídící a zabezpečovací systémy. Aby bylo možno správně nastavit tyto systémy, je v některých případech vhodné použít globální optimalizace funkcí více proměnných.

Globální optimalizaci funkce více proměnných se rozumí nalezení nejvyšší nebo nejnižší hodnoty z určené definiční oblasti funkce.

Globální optimalizace se může například použít k:

- a) řešení regulátorů pro řízení strojírenských procesů
  - b) optimalizaci řezných podmínek při obrábění
  - c) identifikaci dynamických systémů
  - d) projektování technologických zařízení
- a další.

Na jednotlivé proměnné jsou v mnoha případech kladený omezující podmínky vycházející z předpokladu, že parametry systému nemohou nabývat jakýchkoli hodnot. V literatuře je známa celá řada optimalizačních metod, z nichž velká většina konverguje pouze k lokálnímu extrému. Proto je nutné mít k dispozici metodu umožňující s vysokou pravděpodobností nalézt globální extrém. V této práci se zabýváme právě porovnáním algoritmu, který tuto vlastnost splňuje, s ostatními běžnými algoritmy určujícími pouze lokální extrém.

Metody optimalizace lze rozdělit na dvě skupiny. Do první skupiny patří metody nalezení extrému bez derivování funkce. Do druhé skupiny patří metody určení extrému pomocí prvních, respektive i druhých derivací funkce.

## 2.0. POPIS JEDNOTLIVÝCH SKUPIN METOD

### 2.1. Skupina metod určení extrému bez derivování funkce

Tato skupina metod používá k nalezení extrému účelové funkce pouze analytický tvar funkce. Z tohoto důvodu jsou algoritmy těchto metod obecně jednodušší, a protože vycházejí při hledání extrému pouze z jednoho údaje (tím je zadáná funkce) jsou obecně pomalejší.

Metody je vhodné použít v těchto případech:

a) účelová funkce obsahuje nespojitosti, respektive není hladká a pod.

b) účelová funkce je složitá a určení jejich parciálních derivací, tj. prvních, respektive i druhých, by trvalo neúměrně dlouho.

Pro účely této práce byly vybrány následující metody určení extrému bez derivování funkce:

- metoda globální optimalizace se spline-aproximací
- metoda flexibilního simplexu
- metoda Gaussova

### 2.2. Skupina metod určení extrému pomocí prvních, resp. i druhých derivací funkce

Tyto metody obecně rychleji naleznou extrém než metody nalezení extrému bez derivování funkce, protože využívají k výpočtu první, případně i druhé parciální derivace účelové funkce. V důsledku toho, že se tyto parciální derivace používají, bývají algoritmy těchto metod složitější.

Tyto metody se používají v případech, kdy potřebujeme nalézt extrém velmi rychle a pro funkce, u kterých lze snadno určit první resp. i druhou parciální derivaci.

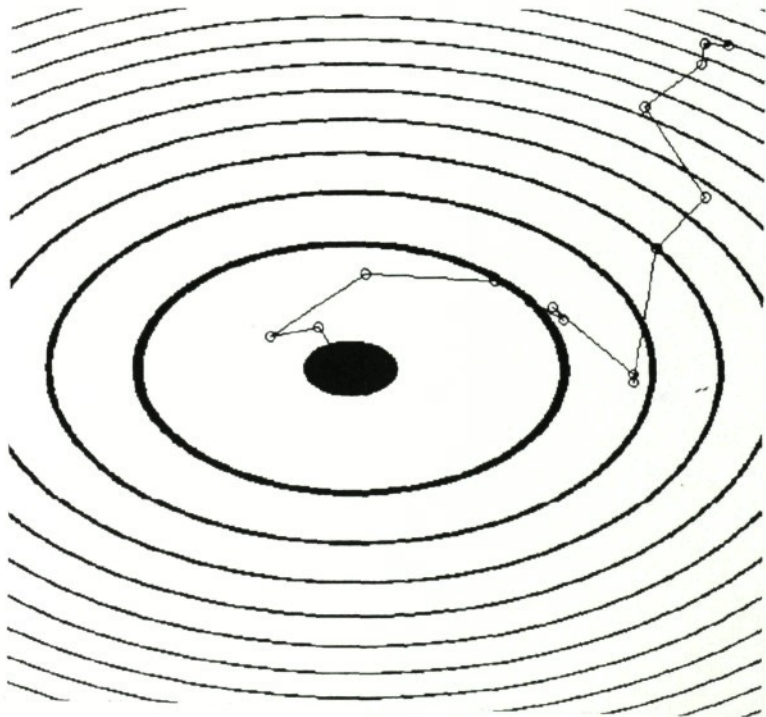
Pro účely této práce byla vybrána metoda gradientu.

### 3.0. ALGORITMY VYBRANÝCH METOD

#### 3.1. Metoda globální optimalizace se spline-aproximací

Metoda globální optimalizace se spline-aproximací byla vybrána pro její vysokou pravděpodobnost nalezení globálního extrému. Tato skutečnost má však za následek delší dobu trvání výpočtu. Další její dobrou vlastností je, že ji lze použít na případy s omezením nebo bez omezení jednotlivých proměnných.

Na obrázku č. 1 je znázorněno, jak metoda globální optimalizace se spline-aproximací nalézá postupně systémem náhodných přímek (na těchto přímkách se provádí approximace pomocí spline-funkcí) body se stále klesající funkční hodnotou. Při nalézání extrému se vychází z libovolného bodu (zde je vlevo nahore) a postupně se nalézá minimum funkce (uprostřed obrázku).



obr. 1.

Uvedený algoritmus se zabývá hledáním globálního minima. Případ globálního maxima lze snadno získat buď úpravou uvedeného algoritmu nebo lépe přechodem k funkci  $-f$  místo  $f$ .

### 3.1.1. Popis parametrů metody

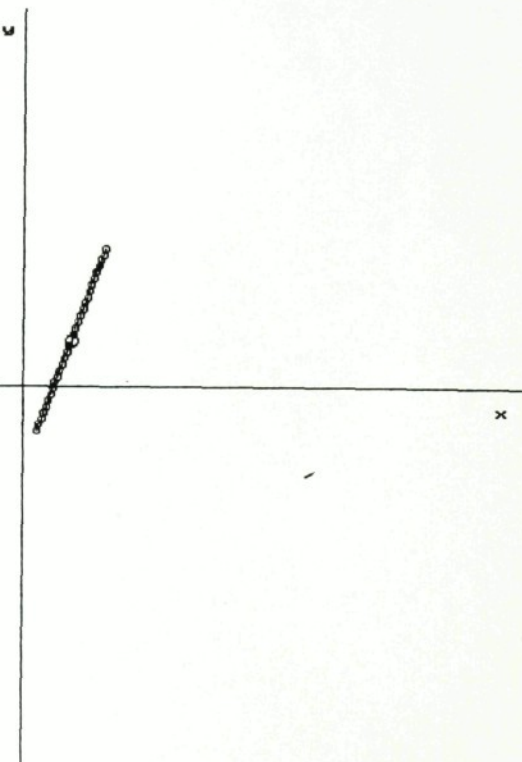
Pro nalezení globálního extrému touto metodou je nutno zadat dva parametry:

- parametr  $k$ , který vyjadřuje počet bodů po obou stranách výchozího bodu na approximační křivce.
- parametr  $h$ , který vyjadřuje vzdálenost bodů od sebe na approximační křivce.

Vliv obou těchto parametrů na délku approximační křivky i na hustotu bodů na této křivce je patrný z obrázků č. 2 a č. 3.

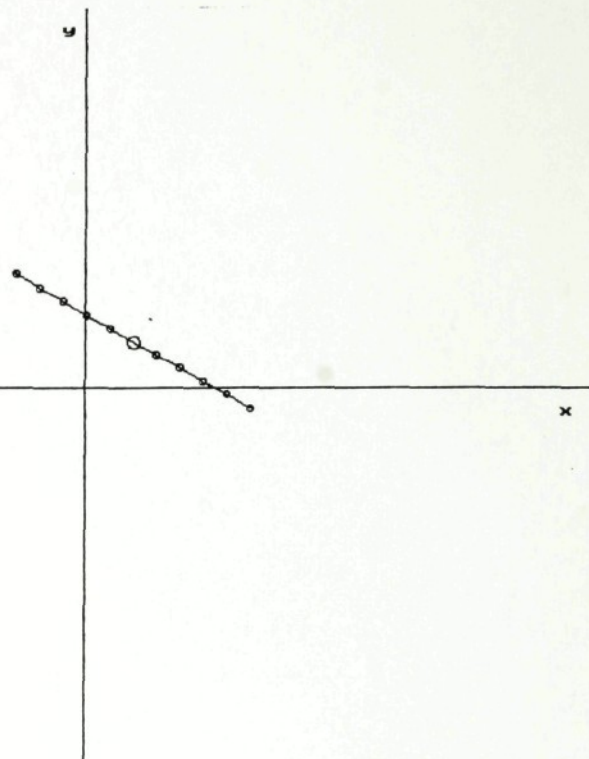
$k = 15$

$h = 0.30$



obr. 2.

$k = 5$   
 $h = 1.00$



obr. 3.

Při pohledu na oba obrázky je zřejmé, že ideální pro nalezení extrému touto metodou je volit  $k$  co největší (aby approximační přímka byla co nejdelší a obsáhla co největší oblast) a  $h$  relativně malé (pro dosažení velké hustoty bodů). Při takovéto volbě by však výpočet trval neúměrně dlouho, proto je nutné oba tyto parametry vhodně sladit.

### 3.1.2. Formulace úlohy

Je dána funkce  $f$  proměnných  $p_1, p_2, \dots, p_m$ .

Označime

$$\mathbf{p} = [p_1, p_2, \dots, p_m]^T$$

Dále  $Q$  je přípustná množina vektorů  $\mathbf{p}$ , která je souvislá a její vnitřek  $Q^0 = \text{int } Q$  je oblast, t.j. souvislá otevřená množina. Úlohou je nalezení absolutního minima funkce  $f$  při

splnění podmínky, že  $p \in Q$ , t.j. formálně, hledáme  $p_{\min}$ , pro něž platí

$$p \in Q \Rightarrow f(p_{\min}) \leq f(p)$$

### 3.1.3. Algoritmus metody

Celý postup metody globální optimalizace lze rozdělit do následujících kroků:

- a) Zvolíme malé  $\epsilon > 0$  (např.  $\epsilon = 10^{-4}$ ), přirozené číslo  $k$ , reálné číslo  $h > 0$ .
- b) Volíme odhad  $p^0 \in Q^0$  a určíme  $f(p^0)$ .
- c) Generujeme  $m$ -tici náhodných čísel  $c_1, c_2, \dots, c_m$  s normálním rozdělením. Pro náhodný vektor  $c = [c_1, \dots, c_m]^T$  žádáme, aby střední hodnota  $E(c) = 0$  a rozptyl  $E(c \cdot c^T) = I$ , kde  $I$  je jednotková matice.
- d) Určíme body  $p^i \in Q$   
$$p^i = p^0 + i \cdot h \cdot c, \quad i \in (-k, -k+1, \dots, -1, 0, 1, \dots, k),$$
kde konstanta  $h > 0$  je parametrem metody. Pokud  $p^i \notin Q$  pro některé  $i$ , kontrahujeme  $h$  kvocientem  $q$ , pro který platí  $0 < q < 1$  (obvykle  $q = 0.5$ ), tak dlouho, až  $p \in Q$  pro všechna  $i$ .
- e) Určíme  $f(p^i)$  pro  $p^i$ ,  $f(p^0)$  už známe. Průběh funkčních hodnot na přímce  $p^0 + t \cdot h \cdot c$  approximujeme spline-funkcí  $g(t)$ , která je popsána v kapitole 3.1.4.
- f) Určíme minimum použité interpolační spline-funkce. Hodnotu  $t$ , pro kterou je  $g(t)$  minimální, označíme  $t_{\min}$ . Je-li  $g(t_{\min}) \leq f(p^0) - \epsilon$  určíme nový bod

$$p = p^0 + t_{\min} \cdot h \cdot c$$

Jestliže  $p \notin Q^0$ , vrátíme se na krok c), je-li  $p \in Q^0$ , určíme  $f(p)$ . Platí-li  $f(p) < f(p^0)$ , zaměníme  $p \rightarrow p^0$  a  $f(p) \rightarrow f(p^0)$ , přejdeme na krok c). Je-li  $f(p) \geq f(p^0)$  přejdeme na krok b) bez záměny (neúspěšná iterace).

Do algoritmu je dále třeba zabudovat test ukončení.

Ukončit výpočet můžeme např. po provedení předem stanoveného počtu kroků, nebo jestliže několik po sobě jdoucích funkčních hodnot se liší o méně než předem stanovené malé číslo resp. s dosud dosaženou minimální hodnotou jsme spokojeni a pod.

Pro náš případ jsme si vybrali případ ukončení výpočtu po předem stanoveném počtu neúspěšných kroků za sebou. Ze zkušenosti jsme nastavili tuto hodnotu na 20 (20x za sebou se na approximační přímce nevyskytuje menší hodnota než už nalezený bod). Dále se výpočet ukončuje tehdy, když při kontrakci parametru  $h$  je tato hodnota menší než  $10^{-5}$  (středový bod na approximační přímce je na hranici definiční oblasti funkce).

### 3.1.4. Interpolace kubickými spline funkcemi

Potřebujeme interpolovat  $2k+1$  bodů

$f(p^{-k}), f(p^{-k+1}), \dots f(p^0), f(p^1), \dots f(p^k)$ , které pro jednoduchost označíme  $f_{-k}, f_{-k+1}, \dots, f_{-1}, f_0, f_1, \dots, f_k$ .

Hledáme funkci  $g(t)$  (kubická spline-funkce) s předpoklady:

a)  $g \in C^2(-k, k)$ ;

b)  $t \in \langle i-1, i \rangle \Rightarrow g(t) = g_i(t) = \sum_{n=0}^3 a_n(i) (i-t)^n$ ,

pro  $i = -k+1, -k+2, \dots, k$

c)  $g(i) = f_i = f(p^i)$ ,  $i = -k, -k+1, \dots, k$

d)  $g''(-k) = 0 = g''(k)$  "speciální volba"

Poněvadž  $g''(t)$  je spojitá a lineární na intervalu  $\langle i-1, i \rangle$ , kde  $i = -k+1, \dots, k$ , lze pro  $t \in \langle i-1, i \rangle$  psát

$$g''(t) = m_{i-1}(i-t) + m_i(t-i+1),$$

kde  $m_i = g''(i)$ .

Dvojnásobnou integrací předchozí rovnice podle t dostaneme

$$g(t) = m_{i-1} \frac{(i-t)^3}{6} + m_i \frac{(t-i+1)^3}{6} + A_1(i-t) + B_1(t-i+1)$$

Integrační konstanty  $A_1$ ,  $B_1$  určíme z podmínek

$$g(i-1) = f_{i-1}, \quad g(i) = f_i$$

Dosazením podmínek do vztahu plyne

$$\frac{m_i}{6} + B_1 = f_i, \quad \frac{m_{i-1}}{6} + A_1 = f_{i-1},$$

takže dosazením za  $A_1$  a  $B_1$  získáme finální vztah

$$g(t) = m_{i-1} \frac{(i-t)^3}{6} + m_i \frac{(t-i+1)^2}{6} + (f_{i-1} - \frac{m_{i-1}}{6})(i-t) + \\ + (f_i - \frac{m_i}{6})(t-i+1)$$

Derivováním tohoto vztahu dostaneme

$$g'(t) = -m_{i-1} \frac{(i-t)^2}{2} + m_i \frac{(t-i+1)^2}{2} + f_i - f_{i-1} - \frac{m_i - m_{i-1}}{6}$$

(1)

Z tohoto vztahu určíme limity derivace zleva a zprava v uzlových bodech

$$g'(i-) = \frac{m_{i-1}}{6} + \frac{m_i}{3} + f_i - f_{i-1}$$

$$g'(i+) = -\frac{m_i}{3} - \frac{m_{i+1}}{6} + f_{i+1} - f_i$$

Podle předpokladu a) jsou  $g'$  a  $g''$  spojité na  $\langle -k, k \rangle$ , odtud a ze spojitosti  $g'$  v bodech  $-k+1, -k+2, \dots, k-1$  dostaneme

2k-1 rovnic

$$\frac{1}{6} m_{i-1} + \frac{2}{3} m_i + \frac{1}{6} m_{i+1} = f_{i-1} - 2f_i + f_{i+1}$$

S ohledem na předpoklad d) (speciální volba) je  $m_k = 0 = m_{k-1}$ , takže pro neznámé  $m_{k-1}, m_{k-2}, \dots, m_1$  dostáváme soustavu lineárních algebraických rovnic

$$A \times m = B \times F$$

kde A je čtvercová třídiagonální matice

$$A = \begin{bmatrix} \frac{2}{3}, \frac{1}{6}, 0, 0, \dots, 0, 0 \\ \frac{1}{6}, \frac{2}{3}, \frac{1}{6}, 0, \dots, 0, 0 \\ 0, \frac{1}{6}, \frac{2}{3}, \frac{1}{6}, \dots, 0, 0 \\ \vdots \\ 0, 0, 0, 0, \dots, \frac{1}{6}, \frac{2}{3} \end{bmatrix}$$

$$m = \begin{bmatrix} m_{-k+1} \\ m_{-k+2} \\ \vdots \\ \vdots \\ m_{k-1} \end{bmatrix} \quad F = \begin{bmatrix} f_{-k} \\ f_{-k+1} \\ \vdots \\ \vdots \\ f_k \end{bmatrix}$$

$$B = \begin{bmatrix} 1, -2, 1, \dots, 0, 0, 0 \\ 0, 1, -2, \dots, 0, 0, 0 \\ \vdots \\ 0, 0, 0, \dots, 1, -2, 1 \end{bmatrix}$$

Matice  $A$  je ostře diagonálně dominantní (důkaz je proveden v práci /1/ na straně 6) a je tedy regulární. Soustava rovnic  $A \times m = B \times F$  má tedy jediné řešení pro  $m$ , a proto i spline-funkce  $g(t)$  splňující dané podmínky existuje právě jedna.

Platí, že interpolace kubickými spline-funkcemi je vysoko efektivní, proto jsme tento přístup užili též v této práci.

### 3.1.5. Řešení třídiagonálního systému lineárních rovnic

Uvažujeme systém rovnic

$$A \times = y, \text{ kde } x, y \in R^n$$

$$A = \begin{bmatrix} a_1 & b_1 & 0 & 0 & 0 & \dots & \dots & \dots & 0 \\ c_2 & a_2 & b_2 & 0 & 0 & \dots & \dots & \dots & 0 \\ 0 & c_3 & a_3 & b_3 & 0 & \dots & \dots & \dots & 0 \\ \vdots & \vdots & \vdots & \vdots & \vdots & \ddots & \ddots & \ddots & \vdots \\ 0 & 0 & 0 & 0 & 0 & \dots & \dots & c_n & a_n \end{bmatrix}$$

Řešení hledejme ve tvaru procedury

$$x_i = p_i x_{i+1} + q_i, \quad i = 1, 2, \dots, n-1$$

Z  $i$ -té rovnice dostaneme

$$c_i x_{i-1} + a_i x_i + b_i x_{i+1} = y_i$$

Vyloučíme neznámá  $x_{i-1}$  z obou rovnic tak, že v první rovnici zaměníme  $i$  za  $i-1$ , dostaneme

$$(a_i + c_i p_{i-1}) x_i + b_i x_{i+1} = y_i - c_i q_{i-1}$$

a odtud

$$x_i = -\frac{b_i}{a_i + c_i p_{i-1}} x_{i+1} + \frac{y_i - c_i q_{i-1}}{a_i + c_i p_{i-1}}$$

Srovnáním dvou rovnic pro  $x_i$  získáme rekurentní formule pro určení koeficientů  $p_i$  a  $q_i$ :

$$p_i = \frac{-b_i}{a_i + c_i p_{i-1}}, \quad q_i = \frac{y_i - c_i q_{i-1}}{a_i + c_i p_{i-1}}$$

Pro  $x_n = g_n$  vypočteme ostatní neznámé z rovnice:

$$x_i = p_i x_{i+1} + q_i$$

Lze dokázat že daný algoritmus je stabilní ve smyslu nahromadění chyb zaokrouhlováním pro  $|p_i| < 1$ .

Poznamenejme, že systém rovnic  $A \times m = B \times F$  je vhodné násobit 6, aby se zjednodušil tvar matice A.

### 3.1.6. Globální minimum spline funkce

V této kapitole se budeme zabývat nalezením minimální hodnoty spline-funkce  $g(t)$  v celém intervalu  $\langle -k, k \rangle$ .

Zabývejme se nejprve otázkou lokálního extrému na intervalu  $i-1 < t < i$ . Pro lokální extrém na tomto intervalu musí platit  $g'(t) = 0$ , čili dle rovnice (1) na straně 15:

$$-m_{i-1} \frac{(i-t)^2}{2} + m_i \frac{(t-i+1)^2}{2} + f_i - f_{i-1} - \frac{(m_i - m_{i-1})}{6} = 0$$

Tuto rovnici dále upravíme na tvar

$$(t-i)^2(m_i - m_{i-1}) + 2(t-i)m_i + 2(f_i - f_{i-1}) + \frac{(2m_i - m_{i-1})}{3} = 0 \quad (2)$$

A. Nechť  $m_i \neq m_{i-1}$

Značí-li  $D_i$  diskriminat této rovnice, pak

$$D_i = 4m_i^2 - 4(m_i - m_{i-1}) \frac{2(f_i - f_{i-1}) + (2m_i - m_{i-1})}{3}$$

Aby extrém existoval, musí být  $D_i \geq 0$  a pak z (2) plyne

$$t_{\text{ex}} - i = \frac{-m_i \pm 0.5 \sqrt{D_i}}{m_i - m_{i-1}} \quad (3)$$

Rovnici z předpokladu d) lze upravit na tvar

$$g''(t) = (m_i - m_{i-1})(t-i) + m_i$$

z něhož po dosazení z (3) dostaneme:

$$g''(t_{\text{ex}}) = \pm \frac{\sqrt{D_i}}{2}$$

Podmínka, že hledáme minimum, dává volbu znaménka +, takže z (3) dostaneme:

$$t_{\text{ex}}^i = i + \frac{-m_i + 0.5 \sqrt{D_i}}{m_i - m_{i-1}}$$

Lokální minimum navíc hledáme na intervalu  $(i-1, i)$ , takže musí platit:

$$i-1 < i + \frac{-m_i + 0.5 \sqrt{D_i}}{m_i - m_{i-1}} < i \quad \text{neboli}$$

$$-1 < \frac{-m_i + 0.5 \sqrt{D_i}}{m_i - m_{i-1}} < 0 \quad (4)$$

B. Pokud  $m_i = m_{i-1}$ , pak (2) je lineární rovnice, a ta nabývá extrémy vždy v krajních bodech.

Výsledek úvah zní: spline-funkce  $g(t)$  má na otevřeném intervalu  $i-1 < t < i$  lokální minimum právě tehdy, když

a)  $m_i \neq m_{i-1}$

b)  $D_i \geq 0$

c) platí (4)

Jeho hodnota je pak  $g(t_{\text{ex}})$ .

Nalezení globálního extrému spline-funkce je nyní již snadnou záležitostí. Je jím bod s nejmenší hodnotou z množiny všech lokálních extrémů na otevřených intervalech  $(i-1, i)$  a všech funkčních hodnot ve styčných bodech těchto intervalů, tj. hodnot  $f(p^{-k}), f(p^{-k+1}), \dots, f(p^k)$ .

### 3.2. Metoda flexibilního simplexu

Metoda flexibilního simplexu patří také mezi metody určení extrému bez derivování účelové funkce. Lze ji též použít na případy bez omezení respektive s omezením jednotlivých proměnných.

#### 3.2.1. Algoritmus metody flexibilního simplexu

Princip metody spočívá v určení směru hledání v  $n$  rozměrném prostoru z hodnot účelové funkce v  $n+1$  bodech. Tyto body se volí obvykle ve vrcholech pravidelného  $n$  rozměrného polyedru. Takové uspořádání se nazývá regulárním simplexem. Souřadnice simplexu  $i \times$  až  $n+1 \times$  s jedním vrcholem v počátku souřadného systému mohou být vyjádřeny maticí:

$$D = [ \begin{matrix} 1 \times, & \dots & n+1 \times \end{matrix} ] = \begin{bmatrix} 0 & d_1 & d_2 & d_2 \\ 0 & d_2 & d_1 & d_2 \\ \dots & \dots & \dots & \dots \\ 0 & d_2 & d_2 & d_1 \end{bmatrix}$$

Matice  $D$  má rozměr  $D[n, n+1]$ .

$$d_1 = \frac{t}{n \sqrt{2}} (\sqrt{(n+1)} + n - 1)$$

$$d_2 = \frac{t}{n \sqrt{2}} (\sqrt{(n+1)} - 1)$$

kde  $t$  je parametr metody.

Ve všech bodech polyedru se vypočítá hodnota účelové funkce  $f(i \times)$ , pro  $i = 1 \dots n+1$ . Vrchol s nejvyšší hodnotou účelové funkce označíme  $hx$ , podobně vrchol s nejnižší hodnotou označíme  $ix$ . Určíme těžiště všech vrcholů kromě  $hx$

a označíme ho  $n+2x$ :

$$n+2x = \frac{1}{n} \left( \sum_{i=1}^{n+1} i x - h x \right)$$

Regulární simplex se krok od kroku deformuje tak, aby se přizpůsobil průběhu účelové funkce. Výpočtový algoritmus kroku  $k$  je následující:

- a) odraz: určí se bod  $n+3x_k = n+2x_k + \alpha (n+2x_k - h x_k)$
- b) prodloužení: jestliže  $f(n+3x_k) \leq f(n+2x_k)$  prodlouží se vektor  $(n+3x_k - n+2x_k)$  na  $n+4x_k = n+2x_k + \tau (n+3x_k - n+2x_k)$ .  
Jestliže  $f(n+4x_k) < f(n+2x_k)$ , zamění se  $n+4x_k$  za  $n+2x_k$ , jinak se zamění  $n+3x_k$  za  $n+2x_k$ . Tím vznikne nový simplex.  
Přejde se na výpočtový krok odraz s  $k = k+1$ .
- c) zkrácení: jestliže  $f(n+3x_k) > f(n+2x_k)$  pro všechna  $i = h$ , zkrátí se vektor  $(n+3x_k - h x_k)$  na  $n+5x_k = n+2x_k + \beta (h x_k - n+2x_k)$ .  
Záměnou  $n+5x_k$  za  $h x_k$  vznikne nový simplex. Přejde se na výpočtový krok odraz s  $k = k+1$ .
- d) zmenšení: jestliže  $f(n+3x_k) > f(h x_k)$ , zmenší se všechny hrany polyedru při zachování jeho orientace a vrcholu  $h x_k$  v prostoru  $i x_k = h x_k + 0.5 (i x_k - h x_k)$ , pro  $i = 1$  až  $n+1$ . Tento nový simplex nahrazuje simplex stávající. Přejde se na výpočtový krok odraz s  $k = k+1$ .
- e) ukončení: jestliže je

$$\frac{1}{n+1} \sum_{i=1}^{n+1} [f(i x_k) - f(n+2x_k)]^2 \leq \delta^2$$

pak proces hledání končí.

Proměnné  $\alpha$ ,  $\beta$ ,  $\tau$ ,  $\delta$  jsou parametry metody. Literatura doporučuje volit tyto parametry na základě zkušeností takto:

$$\alpha = 1$$

$$\tau = 2$$

$$\beta = 0.5$$

$$\delta = 1$$

### 3.3. Metoda gradientu (metoda největšího spádu)

Gradientní metody patří mezi metody určení extrému funkce pomocí prvních, resp. i druhých parciálních derivací účelové funkce. Gradientní metody se používají v případech, kdy je možno tyto parciální derivace snadno určit. Jejich nevýhodou je také nemožnost zadat omezující podmínky proměnných, t.j. zadat definiční oblast účelové funkce.

#### 3.3.1. Algoritmus gradientních metod

Hledáme minimum funkce  $f(x)$ . Záporný gradient -  $\nabla f(x)$  udává největší spád funkce  $f(x)$  v bodě  $x$ . Tuto skutečností se právě využívá v gradientních metodách.

Zvolíme počáteční bod  $x_0$  a přechod od libovolného bodu  $x_k$  k novému bodu  $x_{k+1}$  se provádí podle iteračního vzorce:

$$x_{k+1} = x_k - \lambda_k \nabla f(x_k), \quad \lambda_k > 0, \quad k = 1, 2, 3, \dots$$

Jsou-li čísla  $\lambda_k > 0$  velmi malá, jedná se o gradientní metodu s krátkým krokem.

Volíme-li  $\lambda_k > 0$  v každé iteraci co největší, ale takové, abychom postoupili ve směru záporného gradientu jen tehdy, vede-li to ke snížení hodnoty účelové funkce  $f(x)$ , pak hovoříme o gradientní metodě s dlouhým krokem. Metoda s dlouhým krokem se též nazývá optimální gradientní metoda nebo metoda největšího spádu.

Zvolíme-li  $\lambda_k$  malé  $\Rightarrow$  je hledání extrému pomalé a je-li  $\lambda_k = \text{konst.} \Rightarrow$  nastane oscilace v blízkosti extrému. Proto je vhodné volit zprvu  $\lambda_k$  dosti velké a postupně ho zmenšovat.

Hledáme:

$$\min f[x_k - \delta \nabla f(x_k)] \quad (5)$$
$$\delta > 0$$

Aproximujeme  $f(x)$  kvadratickým výrazem:

$$f(x) \doteq f(x_k) + \nabla^T f(x_k)(x - x_k) + \frac{1}{2} (x - x_k)^T H(x_k)(x - x_k) \quad (6)$$

kde  $H(x)$  je Hessova matice druhých parciálních derivací

$$H(x) = \left[ \begin{array}{c} \frac{\partial^2 f(x_k)}{\partial x^i \partial x^j} \end{array} \right]_{i,j=1,2,\dots,n}$$

Položme  $s_k = -\nabla f(x_k)$  a  $x - x_k = \delta s_k$ , pak podle (5), (6) lze psát pro stacionární bod:

$$\frac{d}{d\delta} [f(x_k) - \nabla^T f(x_k) \delta s_k + \frac{1}{2} \delta^2 s_k^T H(x_k) s_k] = 0$$

a odtud

$$\delta = - \frac{\nabla^T f(x_k) s_k}{s_k^T H(x_k) s_k}$$

a potom po dosazení za  $s_k = -\nabla f(x_k)$  dostaneme:

$$\delta = \frac{\nabla^T f(x_k) \nabla f(x_k)}{\nabla^T f(x_k) H(x_k) \nabla f(x_k)}$$

Rychlejší konvergenci očekáváme od metod využívajících i druhých derivací funkce. Je-li oprávněná approximace (6), pak minimum ve stacionárním bodě je dánno:

$$\nabla f(x_k) + H(x_k)(x - x_k) = 0$$

Označíme-li bod  $x_{k+1}$  místo  $x_k$ , pak

$$x_{k+1} = x_k - H^{-1}(x_k) \nabla f(x_k)$$

Tato metoda se nazývá Newtonova metoda, zde je nutné, aby matice  $H(x_k)$  byla regulární (pro určení inverzní matice  $H^{-1}(x_k)$ ). V blízkosti extrému lze v případě, že se  $H(x_k)$

příliš nemění postupovat takto:

$$x_{k+1} = x_k - H^{-1} \nabla f(x_k)$$

kde  $H^{-1}$  je zvolena pevně pro několik následujících kroků, což uspoří výpočetní čas určování inverzí Hessových matic.

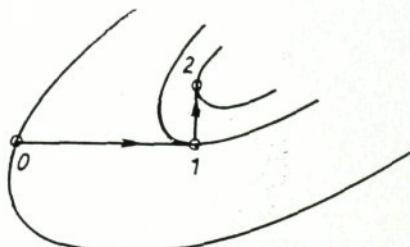
### 3.4. Metoda Gaussova

Metoda Gaussova patří mezi metody určení extrému bez derivování funkce. Tato metoda byla vybrána pro její jednoduchost a možnost nalezení extrému s jakoukoliv přesností.

#### 3.4.1. Princip Gaussovy metody

Princip metody je následující: nejdříve se určí přírůstky pro jednotlivé složky vektoru  $x$  (vektor proměnných funkce  $f(x)$ ), t.j. s jakou přesností chceme nalézt extrém. Následně se pro každý krok vždy cyklicky vybírá jedna složka vektoru  $x$  a v jejím směru se provádí přímé hledání postupného minima. Nejdříve se určí směr postupu podle dvou hodnot z okolí výchozího bodu a v tomto směru se pokračuje v hledání minima, dokud účelová funkce klesá. Po nalezení tohoto postupného minima se provádí hledání v jiné složce vektoru  $x$ . Postup se opakuje pokud není dosaženo potřebné přesnosti.

Princip Gaussovy metody je zobrazen na obrázku č. 4.



obr. 4.

4.0. POROVNÁNÍ VYBRANÝCH METOD Z HLEDISKA DOBY TRVÁNÍ A  
POČTU POTŘEBNÝCH KROKŮ

Pro porovnání vybraných metod jsme jednotlivými metodami vypočítali následující příklady:

a) nalézt minimum funkce  $f(x, y, z) = x^2 + 2xy^2 + z^2 - 2xz + 1$

bez omezujících podmínek pro proměnné.

Výsledky zjištěné analyticky:

$$\begin{aligned}x &= 0 \\y &= 0 \\z &= 1 \\funkční hodnota &= 0\end{aligned}$$

Výsledky metodou globální optimalizace se spline-aproximací:

$$\begin{aligned}x &= 0.0280 \\y &= -0.0714 \\z &= 0.8879 \\funkční hodnota &= 0.0236 \\celkový počet kroků: &38 \\z toho úspěšných: &11 \\čas potřebný pro výpočet &0:0:4:94\end{aligned}$$

Výsledky metodou flexibilního simplexu:

$$\begin{aligned}x &= -0.008 \\y &= 0.001 \\z &= 1.004 \\funkční hodnota &= 0.0001 \\počet kroků výpočtu: &69 \\čas potřebný pro výpočet &0:0:0:60\end{aligned}$$

Výsledky metodou Gaussova:

$$\begin{aligned}x &= -0.000 \\y &= -0.000 \\z &= 1.000 \\funkční hodnota &= 0.0000 \\čas potřebný pro výpočet &0:0:1:81\end{aligned}$$

Výsledky metodou gradientu:

$$\begin{aligned}x &= -0.000 \\y &= 0.021 \\z &= 1.000 \\funkční hodnota &= 0.0008 \\čas potřebný pro výpočet &0:0:2:31\end{aligned}$$

Porovnáním jednotlivých metod jsme zjistili, že metoda globální optimalizace se spline approximací je z hlediska času i přesnosti nevýhodná.

Z hlediska času a přesnosti je nejvhodnější metoda flexibilního simplexu.

Metoda gradientu a metoda Gaussova jsou z hlediska času a přesnosti ještě vyhovující.

b) nalézt minimum funkce  $f(x,y) = x^2xy^2 + x - 5$  s omezujícími podmínkami  $-1 \leq x \leq 3$

$$-6 \leq y \leq 6$$

Výsledky zjištěné analyticky:

x = -1  
y = 0  
funkční hodnota = -6

Výsledky metodou globální optimalizace se spline-aproximací:

x = -0.9999  
y = -0.0721  
funkční hodnota = -5.9947  
celkový počet kroků: 26  
z toho úspěšných: 18  
čas potřebný pro výpočet 0:0:2:25

Výsledky metodou flexibilního simplexu:

x = -0.996  
y = 0.011  
funkční hodnota = -5.9960  
počet kroků výpočtu: 24  
čas potřebný pro výpočet 0:0:0:22

Výsledky metodou Gaussova:

x = -0.990  
y = -0.000  
funkční hodnota = -5.9900  
čas potřebný pro výpočet 0:0:1:43

Metodou gradientu tento příklad nešel vypočítat, protože se tato metoda nedá použít na případy, kde se

vyskytuje omezující podmínky pro proměnné.

Metoda flexibilního simplexu je z hlediska času nejvýhodnější, metoda globální optimalizace se spline approximací nejméně výhodná.

Použité metody jsou z hlediska počtu kroků i přesnosti srovnatelné.

c) nalézt minimum funkce  $f(x,y) = e^{[-xxx-yxy]} \times \cos(x)$   
s omezujícími podmínkami pro proměnné:  $-\pi/4 \leq x \leq \pi/4$   
 $-\pi \leq y \leq \pi$

Výsledky zjištěné analyticky:

x =  $\pi/4$   
y =  $\pi$   
funkční hodnota = 0

Výsledky metodou globální optimalizace se spline-aproximací:

x = 0.7769  
y = 2.9192  
funkční hodnota = 0.0001  
celkový počet kroků: 40  
z toho úspěšných: 8  
čas potřebný pro výpočet 0:0:4:67

Výsledky metodou flexibilního simplexu:

x = 0.785  
y = 3.139  
funkční hodnota = 0.0000  
počet kroků výpočtu: 19  
čas potřebný pro výpočet 0:0:0:38

Výsledky metodou Gaussovou:

x = 0.780  
y = 3.140  
funkční hodnota = 0.0000  
čas potřebný pro výpočet 0:0:1:37

Metodou gradientu tento příklad nešel vypočítat opět

z důvodu výskytu omezujících podmínek pro jednotlivé proměnné.

Všechny metody jsou srovnatelné z hlediska přesnosti a počtu kroků.

Z hlediska času je nejvhodnější metoda flexibilního simplexu a nejméně výhodná metoda globální optimalizace se spline approximací.

d) nalézt minimum funkce  $f(x,y) = axb + 4x(a+b)$

kde  $a = x^6 - 4xx^5 + 2xx^4 + 8xx^3 - 7xx^2 - 4xx$

$b = y^4 + 2xy^3 - 3xy^2 - 4xy$

bez žádných omezujících podmínek pro proměnné x,y.

Výsledky zjištěné analyticky:

x = 1  
y = 1  
funkční hodnota = 7

Výsledky metodou globální optimalizace se spline-aproximací:

x = 1.6302  
y = 0.9967  
funkční hodnota = 7.0000  
celkový počet kroků: 40  
z toho úspěšných: 5  
čas potřebný pro výpočet 0:0:6:92

Výsledky metodou flexibilního simplexu:

x = 1.001  
y = 0.913  
funkční hodnota = 7.0000  
počet kroků výpočtu: 13  
čas potřebný pro výpočet 0:0:0:22

Výsledky metodou Gaussovou:

x = 1.000  
y = 1.070  
funkční hodnota = 7.0000  
čas potřebný pro výpočet 0:0:0:72

Metodou gradientu jsem tento příklad nedělal, protože nalezení parciálních derivací účelové funkce by trvalo neúměrně dlouho vzhledem k výpočtu příkladu.

Všechny metody jsou srovnatelné z hlediska přesnosti.

Z hlediska počtu kroků je výhodnější metoda globální optimalizace se spline approximací.

Z hlediska času je nejvýhodnější metoda flexibilního simplexu a nejméně výhodná metoda globální optimalizace se spline approximací.

Nalézt maximum funkce  $f(x) = |2 - 3||x| - 2||$

omezující podmínkou pro proměnnou:  $-3 \leq x \leq 3$

Výsledky zjištěné analyticky:

$x = 0$   
funkční hodnota = 4

Výsledky metodou globální optimalizace se spline-approximací:

$x = -0.0153$   
funkční hodnota = 3.9540  
celkový počet kroků: 22  
z toho úspěšných: 2  
čas potřebný pro výpočet 0:0:2:69

Výsledky metodou flexibilního simplexu:

$x = 0.000$   
funkční hodnota = 4.0000  
počet kroků výpočtu: 5  
čas potřebný pro výpočet 0:0:0:5

Výsledky metodou Gaussovou:

$x = 2.000$   
funkční hodnota = 2.000  
čas potřebný pro výpočet 0:0:0:16

Metodou gradientu u tohoto příkladu také nešlo nalézt níimum, protože se v účelové funkci vyskytuje absolutní

hodnoty a z tohoto důvodu není možné zadat parciální derivace podle jednotlivých proměnných pouze jedinou funkcí.

Metoda Gaussova nalezla pouze lokální extrém.

Z hlediska času a přesnosti je nejvhodnější metoda flexibilního simplexu.

Z hlediska počtu kroků výpočtu je nejvhodnější metoda globální optimalizace se spline-aproximací.

D) nalézt minimum funkce  $f(x,y) = \frac{x \cos(x+y)}{1 + y^2}$

; omezující podmínkou pro proměnnou:  $-30 \leq x \leq 30$

Výsledky metodou globální optimalizace se spline-aproximací:

x = 28.3414  
y = -0.0453  
funkční hodnota = -28.2766  
celkový počet kroků: 87  
z toho úspěšných: 20  
čas potřebný pro výpočet 0:0:9:40

Výsledky metodou flexibilního simplexu:

x = -1.214  
y = 0.527  
funkční hodnota = -0.7346  
počet kroků výpočtu: 23  
čas potřebný pro výpočet 0:0:0:22

Výsledky metodou Gaussovou:

x = 3.560  
y = -0.140  
funkční hodnota = -3.3571  
čas potřebný pro výpočet 0:0:1:5

Výsledky metodou gradientu:

x = 3.550  
y = -0.163  
funkční hodnota = -3.3545  
čas potřebný pro výpočet 0:0:1:43

Z výsledků jasně vidíme přednost metody globální optimalizace se spline aproksimací, která jako jediná nalezla globální extrém. Ostatní metody nalezly pouze extrém lokální.

g) nalézt **minimum** funkce  $f(x,y) = \frac{a}{|21 + x + y|}$

kde  $a = \sin(x) \times \sin(y)$

$b = \operatorname{arctg}(x^3 + x^2 + x + 1)$

$c = \operatorname{arctg}(y^4 + y^3 + y - 5)$

$d = \operatorname{arctg}(\sqrt{|\sin(x) - 5e^y|})$

s omezujícími podmínkami pro proměnné:  $-10 \leq x \leq 10$   
 $-10 \leq y \leq 10$

Tento "odstrašující příklad" uvádíme pro ilustraci možnosti metody globální optimalizace se spline-aproximací. Ostatní vybrané metody nedokáží nalézt extrém.

Výsledky metodou globální optimalizace se spline-aproximací:

$x = 1.6430$   
 $y = 3.1292$   
funkční hodnota = -0.1311  
celkový počet kroků: 52  
z toho úspěšných: 7  
čas potřebný pro výpočet 0:0:14:27

#### 4.1 Celkové porovnání jednotlivých metod

Porovnání je platné pouze pro tento soubor příkladů. Pro obecné závěry by bylo nutné vypracovat obsáhlější statistické porovnání.

Pro soubor příkladů se jako nejvýhodnější jeví metoda globální optimalizace se spline aproksimací, protože byla použitelná ve všech případech a vždy našla extrém globální.

Její přesnost byla sice nejménší ale pro technickou praxi postačující.

Jako další výhodná metoda se jeví metoda flexibilního simplexu, která ve všech případech poskytovala výsledky poměrně rychle s vysokou přesností. Tato metoda se doporučuje používat na příklady, kde existuje pouze jeden extrém, extrém globální.

Gaussova metoda se sice dá použít na všechny typy příkladů, ale ne vždy nalezne extrém globální. Metodu je vhodné použít v případě, kdy jsme schopni přibližně určit globální extrém a výchozí bod hledání zadáme poblíž tohoto extrému.

Jako nejméně výhodná se jeví gradientní metoda, protože pro tento soubor příkladů byla použitelná pouze ve dvou případech a z toho jednou našla pouze lokální extrém.

#### 4.2. Doplnění metody globální optimalizace se spline-aproximací

Po nalezení globálního extrému metodou globální optimalizace se spline-aproximací lze pro zpřesnění řešení použít některou z metod pro hledání lokálního extrému. Při výběru doplňující metody bylo nutno zvážit tyto podmínky:

- vysoká přesnost řešení
- jednoduchost algoritmu
- krátká doba řešení

Po zvážení podmínek byla vybrána metoda Gaussova. Plně splňuje první dvě podmínky a za předpokladu, že jsme poblíž globálního extrému, splňuje i podmínsku třetí.

Toto zpřesnění je možné použít jen tehdy, jsme-li opravdu blízko globálního extrému. V praxi je možné, že by

se zpřesňující metoda mohla přehoupnout do lokálního extrému. Proto je nutné sledovat jednotlivé proměnné při zpřesňujícím hledání. V případě velké odchylky od počátečního bodu zpřesňujícího hledání je nutno výpočet přerušit a spustit metodu globální optimalizace se spline approximací znova.

5.0.

# VLIV PARAMETRŮ U METODY GLOBÁLNÍ OPTIMALIZACE SE SPLINE

## APROXIMACÍ NA KONVERGENCI

5.1.

### Vliv parametru k

Vliv parametru k jsme sledovali na příkladu č.1:

nalezt minimum funkce

$$f(x, y) = 2x^2 + 6y^2 + 4x - 7y$$

bez omezení proměnných

s následujícími parametry: h = 0.5

počáteční bod výpočtu: x<sub>0</sub> = 5

y<sub>0</sub> = 5

Výsledky jsou uvedeny v tabulce č. 1.

| k  | funkční hodnota | počet kroků | úspěšné kroky | čas výpočtu |
|----|-----------------|-------------|---------------|-------------|
| 1  | -3.9846         | 59          | 25            | 0:0:1:54    |
| 2  | -3.9942         | 54          | 19            | 0:0:1:60    |
| 3  | -4.0197         | 48          | 14            | 0:0:1:70    |
| 4  | -4.0156         | 79          | 20            | 0:0:3:29    |
| 5  | -4.0133         | 52          | 12            | 0:0:2:53    |
| 6  | -4.0377         | 39          | 9             | 0:0:2:20    |
| 7  | -4.0258         | 67          | 10            | 0:0:4:23    |
| 8  | -4.0414         | 29          | 4             | 0:0:2:3     |
| 9  | -4.0370         | 45          | 5             | 0:0:3:46    |
| 10 | -4.0308         | 34          | 8             | 0:0:2:86    |
| 11 | -4.0225         | 50          | 4             | 0:0:4:56    |
| 12 | -4.0146         | 29          | 3             | 0:0:2:86    |
| 13 | -4.0165         | 43          | 11            | 0:0:4:56    |
| 14 | -4.0074         | 55          | 9             | 0:0:6:21    |
| 15 | -4.0025         | 29          | 4             | 0:0:3:51    |
| 16 | -4.0027         | 42          | 7             | 0:0:5:49    |
| 17 | -4.0097         | 61          | 7             | 0:0:8:18    |
| 18 | -4.0390         | 77          | 6             | 0:0:14:42   |
| 19 | -4.0265         | 67          | 7             | 0:0:10:5    |
| 20 | -4.0358         | 41          | 5             | 0:0:6:65    |
| 21 | -4.0363         | 85          | 17            | 0:0:13:78   |
| 22 | -4.0375         | 63          | 11            | 0:0:10:65   |
| 23 | -4.0201         | 75          | 13            | 0:0:13:8    |
| 24 | -4.0140         | 41          | 4             | 0:0:7:42    |
| 25 | -4.0206         | 36          | 7             | 0:0:6:86    |
| 26 | -4.0409         | 43          | 10            | 0:0:8:89    |
| 27 | -4.0278         | 51          | 10            | 0:0:10:33   |
| 28 | -4.0384         | 40          | 8             | 0:0:8:41    |
| 29 | -4.0196         | 72          | 9             | 0:0:15:66   |
| 30 | -4.0398         | 38          | 7             | 0:0:8:63    |

Vliv parametru k jsme dále sledovali na příkladu č. 2:

nalezt maximum funkce

$$f(x, y) = e^{-x^4 - y^4} \times \cos(x)$$

s omezujicimi podminkami pro promenné:  $-\pi/4 \leq x \leq \pi/4$   
 $-\pi \leq y \leq \pi$

s nasledujicimi parametry: h = 0.3

počáteční bod výpočtu: xo = 0.5

$$yo = 3$$

Výsledky jsou uvedeny v tabulce č. 2.

| k  | funkční hodnota | počet kroků | úspěšné kroky | čas výpočtu |
|----|-----------------|-------------|---------------|-------------|
| 5  | 0.9936          | 57          | 23            | 0:0:3:96    |
| 6  | 0.9984          | 57          | 26            | 0:0:4:67    |
| 7  | 0.9963          | 42          | 16            | 0:0:3:74    |
| 8  | 0.9992          | 55          | 15            | 0:0:5:27    |
| 9  | 0.9993          | 52          | 13            | 0:0:5:55    |
| 10 | 0.9985          | 36          | 12            | 0:0:4:22    |
| 11 | 0.9984          | 44          | 22            | 0:0:5:71    |
| 12 | 0.9985          | 49          | 20            | 0:0:6:82    |
| 13 | 0.9999          | 48          | 20            | 0:0:7:19    |
| 14 | 0.9998          | 53          | 17            | 0:0:8:41    |
| 15 | 0.9996          | 32          | 11            | 0:0:5:33    |

Prostudováním tabulky č. 1. a 2. jsme dospěli k těmto závěrům:

- se změnou parametru k se příliš nemění přesnost výpočtu
- se zvyšováním parametru k se rovnoměrně zvyšuje čas potřebný k výpočtu
- se zvyšováním parametru k se nejdříve počet úspěšných kroků řešení snižuje a potom postupně narůstá. Neoptimálnějším rozmezím parametru k pro minimální počet kroků řešení je k = 8 ... 10.

Optimální interval parametru k vzhledem k předchozím závěrům se doporučuje k = 6 ... 10.

## 5.2. Vliv parametru h

Vliv parametru h jsme sledovali na příkladu č. 1.:

nalezt minimum funkce

$$f(x, y) = 2x^2 + 6y^2 + 4x - 7y$$

bez omezení proměnných

s následujícími parametry:  $k = 8$

počáteční bod výpočtu:  $x_0 = -4$

$y_0 = 2$

Výsledky jsou uvedeny v tabulce č. 3.

| h     | funkční hodnota | počet kroků | úspěšné kroky | čas výpočtu |
|-------|-----------------|-------------|---------------|-------------|
| 0.010 | -4.0417         | 81          | 55            | 0:0:5:65    |
| 0.015 | -4.0416         | 75          | 48            | 0:0:5:21    |
| 0.020 | -4.0416         | 70          | 43            | 0:0:5:0     |
| 0.025 | -4.0416         | 72          | 30            | 0:0:5:10    |
| 0.030 | -4.0415         | 47          | 21            | 0:0:3:29    |
| 0.035 | -4.0415         | 57          | 22            | 0:0:4:1     |
| 0.040 | -4.0416         | 49          | 22            | 0:0:3:51    |
| 0.045 | -4.0416         | 60          | 18            | 0:0:4:28    |
| 0.050 | -4.0415         | 56          | 17            | 0:0:4:1     |
| 0.060 | -4.0410         | 44          | 14            | 0:0:3:13    |
| 0.070 | -4.0409         | 53          | 10            | 0:0:3:73    |
| 0.080 | -4.0396         | 39          | 14            | 0:0:2:80    |
| 0.090 | -4.0409         | 59          | 12            | 0:0:4:23    |
| 0.100 | -4.0413         | 55          | 13            | 0:0:3:95    |
| 0.150 | -4.0377         | 34          | 6             | 0:0:2:42    |
| 0.200 | -4.0382         | 52          | 7             | 0:0:3:73    |
| 0.250 | -4.0411         | 71          | 17            | 0:0:5:0     |
| 0.300 | -4.0388         | 38          | 7             | 0:0:2:69    |
| 0.350 | -4.0195         | 34          | 6             | 0:0:2:47    |
| 0.400 | -4.0366         | 40          | 11            | 0:0:2:81    |
| 0.450 | -4.0391         | 55          | 9             | 0:0:3:90    |
| 0.500 | -4.0109         | 30          | 2             | 0:0:2:9     |
| 0.550 | -4.0250         | 29          | 4             | 0:0:2:19    |
| 0.600 | -3.9997         | 75          | 12            | 0:0:5:72    |
| 0.650 | -4.0333         | 53          | 5             | 0:0:4:1     |
| 0.700 | -3.9096         | 44          | 10            | 0:0:3:46    |
| 0.750 | -3.9921         | 64          | 4             | 0:0:5:0     |
| 0.800 | -4.0356         | 53          | 4             | 0:0:4:29    |
| 0.850 | -4.0353         | 29          | 3             | 0:0:2:42    |
| 0.900 | -4.0342         | 42          | 2             | 0:0:3:85    |
| 0.950 | -3.9976         | 51          | 4             | 0:0:4:78    |
| 1.000 | -3.9408         | 49          | 10            | 0:0:4:67    |
| 1.100 | -4.0115         | 77          | 7             | 0:0:7:53    |
| 1.200 | -4.0302         | 61          | 4             | 0:0:7:14    |
| 1.300 | -4.0323         | 68          | 6             | 0:0:8:95    |
| 1.400 | -3.9616         | 43          | 9             | 0:0:5:55    |
| 1.500 | -4.036          | 32          | 10            | 0:0:6:10    |

Vliv parametru  $h$  jsme dále sledovali na příkladu č. 2:

naležt maximum funkce

$$f(x,y) = e^{-x^2-y^2} \cdot x \cdot \cos(y)$$

s omezujícími podmínkami pro proměnné:  $-\pi/4 \leq x \leq \pi/4$   
 $-\pi \leq y \leq \pi$

s následujícími parametry:  $k = 8$

počáteční bod výpočtu:  $x_0 = 0.5$

$y_0 = 3$

Výsledky jsou uvedeny v tabulce č. 4.

| $h$  | funkční hodnota | počet kroků | úspěšné kroky | čas výpočtu |
|------|-----------------|-------------|---------------|-------------|
| 0.05 | 0.9997          | 66          | 31            | 0:0:6:37    |
| 0.07 | 0.9996          | 48          | 21            | 0:0:4:78    |
| 0.09 | 1.0000          | 44          | 24            | 0:0:4:39    |
| 0.10 | 0.9995          | 40          | 18            | 0:0:3:89    |
| 0.15 | 0.9992          | 48          | 18            | 0:0:4:78    |
| 0.20 | 0.9992          | 43          | 15            | 0:0:4:22    |
| 0.25 | 0.9998          | 54          | 19            | 0:0:5:16    |
| 0.30 | 0.9995          | 58          | 13            | 0:0:5:55    |
| 0.35 | 0.9983          | 58          | 34            | 0:0:5:88    |
| 0.40 | 0.9994          | 37          | 7             | 0:0:3:52    |
| 0.45 | 0.9987          | 41          | 13            | 0:0:4:1     |
| 0.50 | 0.9982          | 41          | 13            | 0:0:3:95    |

Prostudováním tabulky č. 3. a 4. jsme dospěli k těmto závěrům:

- při velmi malém parametru  $h$  ( $h < 0.1$ ) se dosahuje velmi vysoké přesnosti výpočtu. Při zvyšování  $h$  nad tuto mez přesnost výpočtu postupně klesá.
- při zvyšování parametru  $h$  se počet úspěšných kroků výpočtu rovnoměrně snižuje.
- se zvyšováním parametru  $h$  se čas výpočtu nejdříve zkracuje, a potom postupně narůstá. Nejoptimálnější rozmezí parametru  $h$  pro nejkratší čas řešení je v oblasti  $h = 0.08 \dots 0.55$ .

Optimální interval parametru  $h$  vzhledem k předchozím závěrům se doporučuje  $h = 0.1 \dots 0.5$ .

## 6.0. POPIS PROGRAMU

V rámci této práce vznikl program s názvem Globální optimalizace funkci více proměnných. Po spuštění souboru g\_optim.exe se objeví základní menu:

---

### GLOBALNI OPTIMALIZACE funkci vice promennych

---

**Metoda se spline aproksimaci**

**Metoda polyedrického hledání**

**Metoda Gaussova**

**Metoda gradientu**

**Konec**

Základní menu nabízí tyto možné varianty volby:

- a) globální optimalizace se spline-aproximací
- b) metoda polyedrického hledání
- c) metoda Gaussova
- d) metoda gradientu

Po výběru varianty a potvrzením klávesou <enter> se na obrazovce objeví výzva k zadání rozměru funkce. Rozměr funkce zadá uživatel číslem a potvrzením klávesou <enter>. Na obrazovce se objeví výzva k zadání vlastní účelové funkce. Funkce se zadává ve tvaru: funkce:=..... a potvrdí klávesou <enter>. Dále program nabízí možnost zadání omezujících podmínek pro jednotlivé proměnné. Pokud

uživatel chce tyto podmínky zadat, stiskne "a" a <enter>. Na obrazovce se objeví výzva k zadání počtu podmínek a posléze i výzvy k zadávání jednotlivých podmínek, které uživatel postupně zadává. Jako další krok program nabídne zadání dalších parametrů podle použité metody. Posledním zadávaným údajem je počáteční bod hledání globálního extrému a označení jestli se jedná o maximum nebo minimum funkce. Po stisknutí klávesy <enter> je program spuštěn, na obrazovce se postupně objevují mezivýsledky. Po ukončení programu se objeví konečné výsledky a po stlačení jakékoli klávesy program přechází opět do základního menu.

## 6.1. Programová realizace

Program Globální optimalizace funkcí více proměnných se skládá z následujících souborů:

- a) g\_optim.exe - obsahuje ovládání základního menu a řídí spuštění jednotlivých optimalizačních metod
- b) spline.dat - obsahuje zdrojový text algoritmu globální optimalizace se spline-aproximací. Je psán v jazyku TurboPascal 6.0, neobsahuje zadání funkce a omezující podmínky proměnných
- c) polyedr.dat - obsahuje zdrojový text algoritmu metody polyedrického hledání. Je napsaný v jazyku Turbopascal 6.0, neobsahuje zadání funkce a omezující podmínky proměnných
- d) gauss.dat - obsahuje zdrojový text algoritmu metody Gaussovy. Je napsaný v jazyku TurboPascal 6.0, neobsahuje zadání funkce a omezující podmínky proměnných
- e) grad.dat - obsahuje zdrojový text algoritmu metody gradientu. Je napsaný v jazyku TurboPascal 6.0,

neobsahuje zadání funkce a omezující podmínky proměnných

- f) tpc.exe - kompilátor jazyka TurboPascal 6.0. Slouží pro překlad zdrojových textů algoritmů jednotlivých metod
- g) tpc.cfg, turbo.tpl - konfigurační soubory ke kompilátoru jazyka TurboPascal 6.0.

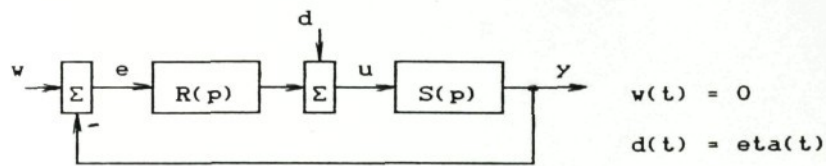
Tento způsob se volil po prostudování několika možných variant. Jedním z hlavních důvodů, které vedly k použití této varianty bylo to, že ne na každém počítači se vyskytuje jazyk TurboPascal. Také ne každý uživatel by byl schopen úpravy programu v TurboPascalu. Domníváme se, že tato varianta je jednou z nejjednodušších. Jedná se o zkopirování souboru s příponou DAT do souboru s příponou PAS s drobnými úpravami dle voleb uživatele. Po zkopirování dochází k překladu souboru s příponou PAS na soubor s příponou EXE a spuštění souboru. Po nalezení extrému dochází k vymazání pracovních souborů s příponami PAS a EXE a návratu do hlavního menu. Tímto řešením je zabezpečena minimalizace souborů v adresáři.

## 7.0. APLIKACE GLOBÁLNÍ OPTIMALIZACE

7.1. Aplikace na návrh regulátoru podle kvadratického kritéria

### 7.1.1. Zadání úlohy

Metodou minimalizace kvadratické regulační plochy je třeba navrhnout seřízení PI regulátoru  $R(p)$  optimálně vyrovnávajícího vliv poruchy  $d(t) = \eta(t)$ , působící na vstupu do regulované soustavy  $S(p)$ .



$$S(p) = \frac{6}{p^3 + 6 \cdot p^2 + 11 \cdot p + 6} \quad R(p) = r_0 + \frac{r_1}{p}$$

$$J = \int_0^\infty [e(t) - e(\infty)]^2 dt \rightarrow \min$$

### 7.1.2. Řešení úlohy

Laplaceův obraz regulační odchylky:  $E(p) = f_{ed}(p) \times D(p)$

$$f_{ed}(p) = \frac{-S(p)}{1 + R(p) \times S(p)} = \frac{6 \cdot p}{p^3 + 6 \cdot p^2 + 11 \cdot p + 6 \cdot p \times (1 + r_0) + 6 \cdot r_1}$$

$$D(p) = \frac{1}{p}$$

$$\bar{E}(p) = E(p) - \frac{1}{p} \lim_{p \rightarrow 0} p \times E(p) = \frac{6}{p^3 + 6 \cdot p^2 + 11 \cdot p + 6 \cdot p \times (1 + r_0) + 6 \cdot r_1}$$

$$J_2 = \frac{1}{2 \times \alpha_n} - \frac{H_d}{H_C}$$

$$\begin{aligned} \alpha_0 &= 6r_1 & \beta_0 &= 6 \\ \alpha_1 &= 6 \times (1 + r_0) \\ \alpha_2 &= 11 \\ \alpha_3 &= 6 \\ \alpha_4 &= \alpha_n = 1 \end{aligned}$$

Hurwitzovy determinanty:

$$H_C = \det \begin{bmatrix} 6 & 6 \times (1+r_0) & 0 & 0 \\ 1 & 11 & 6r_1 & 0 \\ 0 & 6 & 6 \times (1+r_0) & 0 \\ 0 & 1 & 11 & 6r_1 \end{bmatrix} = 6r_1 \times (396 \times (1+r_0) - 216r_1 - 36 \times (1+r_0))$$

$$H_d = \det \begin{bmatrix} 0 & 0 & 0 & -36 \\ 1 & 11 & 6r_1 & 0 \\ 0 & 6 & 6 \times (1+r_0) & 0 \\ 0 & 1 & 11 & 6r_1 \end{bmatrix} = 36 \times (66 - 6 \times (1+r_0))$$

$$J_2 = \frac{18 \times (66 - 6 \times (1+r_0))}{6r_1 \times (396 \times (1+r_0) - 216r_1 - 36 \times (1+r_0))}$$

Vyšetření oblasti stability:

charakteristický polynom:  $p^3 + 6p^2 + 11p + 6p \times (1+r_0) + 6r_1$

1. podmínka:  $1+r_0 > 0$

$$r_0 > -1$$

2. podmínka:  $r_1 > 0$

3. podmínka: determinanty Hurwitzovy matice H musí být větší než nula

$$H = \begin{bmatrix} 6 & 6 \times (1+r_0) & 0 & 0 \\ 1 & 11 & 6r_1 & 0 \\ 0 & 6 & 6 \times (1+r_0) & 0 \\ 0 & 1 & 11 & 6r_1 \end{bmatrix}$$

$$H_1 > 0 \quad 6 > 0 \quad vždy$$

$$H_2 > 0 \quad 66 - 6 \times (1+r_0) > 0$$

$$r_0 < 10$$

$$H_3 > 0 \quad 66 \times 6 \times (1+r_0) - 36 \times 6 \times r_1 - 36 \times (1+r_0) > 0$$

$$-r_0^2 + 9r_0 + 10 > 6r_1$$

Zadává se do programu:

vybraná metoda :globální optimalizace se

spline-aproximací

rozměr funkce: 2

funkce:=(18\*(66-6\*(1+p[1])))/

(6\*p[2]\*(396\*(1+p[1])-216\*p[2]-36\*(1+p[1])))

omezující podmínky: a

počet omezujících podmínek: 4

1. podmínka: p[1]>-1

2. podmínka: p[2]>0

3. podmínka: p[1]<10

4. podmínka: -p[1]+9\*p[1]+10>6\*p[2]

počet bodů k: 10

parametr h: 0.2

minimum nebo maximum: m

Výsledky z programu:

p[1] = r<sub>0</sub> = 6.31

p[2] = r<sub>1</sub> = 2.25

J<sub>2</sub> = 0.061

Mělo vyjít:

r<sub>0</sub> = 6.33

r<sub>1</sub> = 2.24

J<sub>2</sub> = 0.061

Výsledky počítané ručně a pomocí programu Globální optimalizace funkcí více proměnných se od sebe prakticky neliší. Tento program nám velmi zjednodušil práci, protože ruční počítání vede na soustavu nelineárních rovnic, jejímž řešením je obecně velmi mnoho práce.

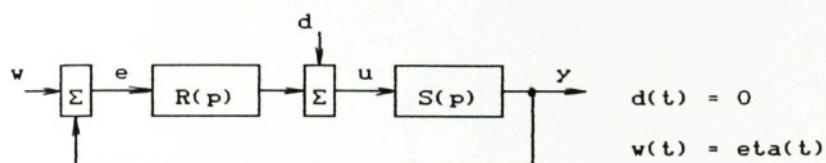
## 7.2. Aplikace na návrh regulátoru podle zobecněného kvadratického kritéria

### 7.2.1. Zadání úlohy

Podle zadaného optimalizačního funkcionálu je třeba optimálně seřídit PI regulátor na skok žádané hodnoty  $w$ :

$\infty$

$$J = \int_0^\infty [ [ e(t) - e(\infty) ]^2 + 0.5 [ e'(t) ]^2 ] dt \rightarrow \min$$



$$S(p) = \frac{1}{p + 2} \quad R(p) = r_0 + \frac{r_1}{p}$$

### 7.2.2. Řešení úlohy

Laplaceův obraz regulační odchylky:  $E(p) = F_{ew}(p) \times W(p)$

$$F_{ew}(p) = \frac{1}{1 + R(p) \times S(p)} = \frac{p^2 + 2p}{p^2 + p(2+r_0) + r_1}$$

$$W(p) = \frac{1}{p}$$

$$\bar{E}(p) = E(p) - \lim_{p \rightarrow 0} p \times E(p) = \frac{p + 2}{p^2 + p(2+r_0) + r_1}$$

obraz derivace regulační odchylky:

$$E'(p) = p \times E(p) - \lim_{p \rightarrow \infty} p \times E(p) = \frac{p + 2}{p^2 + p(2+r_0) + r_1} - 1$$

$$E'(p) = \frac{-r_0 p - r_1}{p^2 + p(2+r_0) + r_1}$$

Parcevalův integrál:

$$J_2 = J_{21} + J_{22}, \quad J_{21} = \frac{1}{2 \times \alpha_n i} \frac{H_{d1}}{H_{c1}}$$

Hurwitzovy determinanty:

$$H_{c1} = H_{c2} = \det \begin{bmatrix} (2+r_o) & 0 \\ 1 & r_1 \end{bmatrix} = 2r_1 + r_i r_o$$

$$H_{d1} = \det \begin{bmatrix} 1 & -4 \\ 1 & r_1 \end{bmatrix} = r_1 + 4$$

$$H_{d2} = \det \begin{bmatrix} r_o^2 & -r_1^2 \\ 1 & r_1 \end{bmatrix} = r_o^2 r_1 + r_1^2$$

$$J_2 = \frac{0.25 r_o^2 r_1 + 0.25 r_1^2 + r_1 + 4}{2 \times (2r_1 + r_i r_o)}$$

Vyšetření oblasti stability:

charakteristický polynom:  $p^2 + p(2+r_o) + r_1$

1. podmínka:  $2+r_o > 0$

$$r_o > -2$$

2. podmínka:  $r_1 > 0$

u soustavy 2. řádu jsou zároveň i podmínkami postačujícími

Protože je oblast stability neohraničená je třeba zadat omezující podmínky pro maximální hodnoty  $r_o, r_1$  z technického hlediska.

Volba:  $r_o < 50$

$r_1 < 20$

Zadání do programu:

vybraná metoda :globální optimalizace se  
spline-aproximací

rozměr funkce: 2

funkce:=(0.25\*p[1]\*p[1]\*p[2]+0.25\*p[2]\*p[2]+p[1]+4)/  
(2\*(2\*p[2]+p[2]\*p[1]))

omezující podmínky: a

počet omezujících podmínek: 4

1. podmínka: p[1]>-2

2. podmínka: p[2]>0

3. podmínka: p[1]<50

4. podmínka: p[2]<20

počet bodů k: 10

parametr h: 0.2

minimum nebo maximum: m

Výsledky z programu:

p[1] = ro = 1.984

p[2] = ri = 3.997

J2 = 0.500

Mělo vyjít:

ro = 2

ri = 4

J2 = 0.5

Výsledky počítané ručně a pomocí programu Globální optimalizace funkcí více proměnných se od sebe prakticky neliší. Program nám ušetřil opět mnoho práce, protože ručně tento příklad nejde vypočítat.

## 8.0. ZÁVĚR

Cílem této práce bylo porovnat mezi sebou metody globální optimalizace funkcí více proměnných. Zjistili jsme, že nejspolehlivější metoda nalezení globálního extrému je globální optimalizace se spline-aproximací. Tato metoda umožňuje nalézt globální extrém u všech typů příkladů, je universální.

V současné době, kdy se v praxi používají stále výkonnější a rychlejší počítače, ustupuje do pozadí i jedna z jejích nevýhod, časová náročnost výpočtu.

Porovnání algoritmů bylo prováděno na počítači PC AT 286/12. Pro srovnání uvedeme, že na počítači PC 486DX/33 jsou výpočty mnohem rychlejší. V praxi to znamená, že i u složitých příkladů je extrém nalezen prakticky okamžitě.

Závěrem ještě uvedeme, že na tuto práci bude v budoucnu navazovat další diplomová práce, která bude řešit použití globální optimalizace se spline-aproximací při návrhu regulátorů podle různých optimalizačních funkcionálů.

## Seznam příloh

disketa se soubory: g\_optim.exe

g\_optim.pas

spline.dat

polyedr.dat

gauss.dat

grad.dat

---

tpc.exe

tpc.cfg

turbo.tpl

## Použitá literatura

- /1/ Záda, V.: Globální optimalizace se spline-aproximací.  
Koloquium ČSFR-BRD Zittau, listopad 1992
- /2/ Hamala, M.: Nelineárne programovanie. Alfa,  
Bratislava 1972
- /3/ Hanuš, B.: Optimalizace systému řízení. Skripta VŠST,  
Liberec 1978
- /4/ Jarník, J: Integrální počet I. Academia, Praha 1984